

9 Anhang

9.1 Ergebnisse der klinischen Untersuchung und Labordiagnostik

Tabelle 9.1: Tabellarische Übersicht über die klinischen und labordiagnostischen Untersuchungsergebnisse der Pferde der Gruppen 1-3

(Legende: i. R. = im Referenzbereich, - = nicht gemessen, ↑ = erhöht, ↑↑ = auf mehr als das Doppelte erhöht, ↓ = erniedrigt, ↓↓ = auf weniger als die Hälfte erniedrigt, Krea = Kreatinin, γGT = Aktivität der Gammaglutamyltransferase im Harn, FE_{Na} = Fraktionelle Exkretion von Natrium, Hkt = Hämatokrit, WBC = Leukozytenzahl, UG = spezifisches Harngewicht, GE = Gesamteiweiß, BE = Base Excess, RBC = Erythrozytenzahl, Urea = Harnstoffkonzentration, CK = Kreatininkinase, Cl = Chloridionenkonzentration im Serum, FE_K = Fraktionelle Exkretion von Kalium)

Pferd Nr	Serum-Krea	γGT/Krea	FE _{Na}	sonstige Befunde	Diagnose
1	i. R.	i. R.	i. R.		Klinisch gesund
2	i. R.	i. R.	i. R.		Klinisch gesund
3	i. R.	i. R.	↓	Hkt ↓	Klinisch gesund
4	i. R.	i. R.	↓		Klinisch gesund
5	i. R.	i. R.	i. R.		Klinisch gesund
6	i. R.	i. R.	↓		Klinisch gesund
7	i. R.	i. R.	↓		Klinisch gesund
8	i. R.	-	-		Klinisch gesund
9	i. R.	↑↑	i. R.	WBC ↑, UG ↓	Obstipation
10	↑	-	i. R.		Sandkolik
11	↓	i. R.	i. R.	Hkt ↓↓, WBC ↑↑, GE ↓↓	Diarrhoe
12	i. R.	i. R.	i. R.		Obstipation
13	i. R.	↑↑	↑↑	UG ↓	Obstipation
14	i. R.	i. R.	i. R.	UG ↓	rezidivierende Kolik unbekannter Genese
15	↑↑	↑↑	↑↑	UG ↓	Sandkolik
16	i. R.	i. R.	↓		Obstipation
17	i. R.	↑↑	↑↑		Obstipation
18	i. R.	i. R.	↑↑		Dünndarmileus
19	↑↑	↑↑	i. R.	GE ↑	Dünndarmileus
20	↑	i. R.	↓	Hkt ↑	Verlagerung Dickdarm
21	i. R.	i. R.	i. R.		Obstipation
22	i. R.	i. R.	i. R.		Verlagerung Dickdarm
23	i. R.	i. R.	↑↑	WBC ↓↓, GE ↓, UG ↓	Verlagerung Dickdarm

Tabelle 9.2: Tabellarische Übersicht über die klinischen und labordiagnostischen Untersuchungsergebnisse der Pferde der Einzelfalldarstellungen

(Legende: siehe Tabelle 9.1)

Pferd Nr	Serum-Krea	γ GT/Krea	FE _{Na}	sonstige Befunde	Diagnose
13	-	-	-		Während Infusion
18	-	-	-		Während Infusion
18	i. R.	i. R.	i. R.		Nachuntersuchung 3 Wochen nach Dünndarmileus- Operation
24	↑↑	↑↑	-	GE ↓, BE ↓↓	Postinfektiöses akutes Nierenversagen
25	↑↑	-	↑↑	Hkt ↓, RBC ↓, UG ↓, Urea ↑↑, BE ↑↑, CK ↑	Chronische Niereninsuffizienz
26	i. R.	-	i. R.	UG ↓	Primäre Polydipsie
27	i. R.	↑↑	↑↑	WBC ↑, Cl ↑, pH _{Harn} ↑, BE ↓↓, UG ↓, FE _K ↓↓	Renale tubuläre Azidose
28	i. R.	i. R.	↓	Hkt ↓↓, WBC ↓↓, RBC ↓↓	Aplastische Anämie
29	i. R.	i. R.	↓	Hkt ↓↓, WBC ↓↓, RBC ↓↓	Aplastische Anämie
30	↑	-	i. R.	Hkt ↓↓, WBC ↑, GE ↑↑, RBC ↓↓	Multiple Lymphosarkome

9.2 Zusammenhang zwischen Blutflussparametern und Hämatokrit

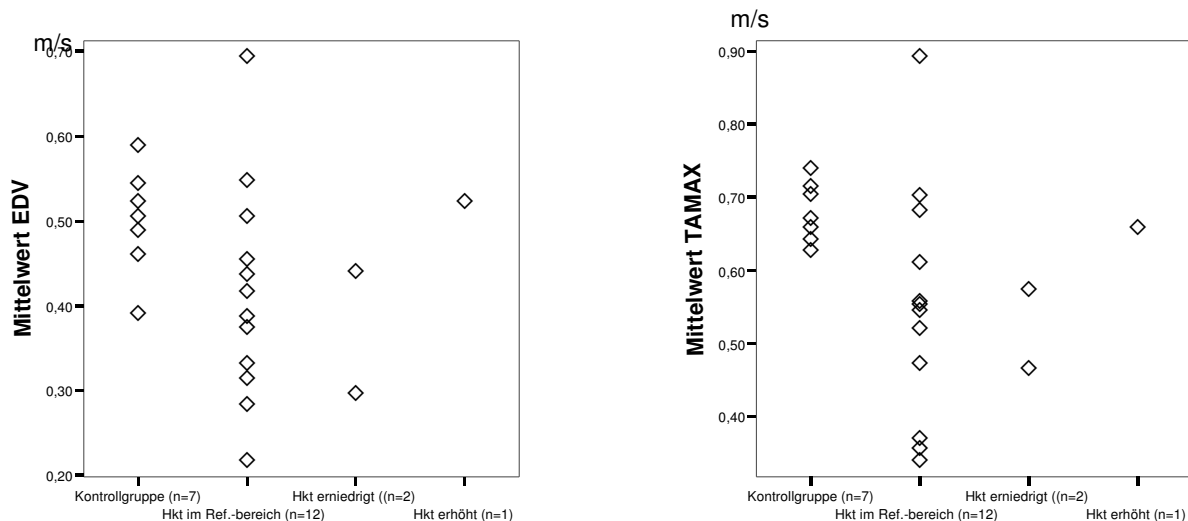


Abb. 9.1: Streudiagramm zur vergleichenden Darstellung der Mittelwerte der enddiastolischen Geschwindigkeit (EDV) und der mittleren Maximalgeschwindigkeit (TAMAX) im Zusammenhang mit dem Hämatokrit

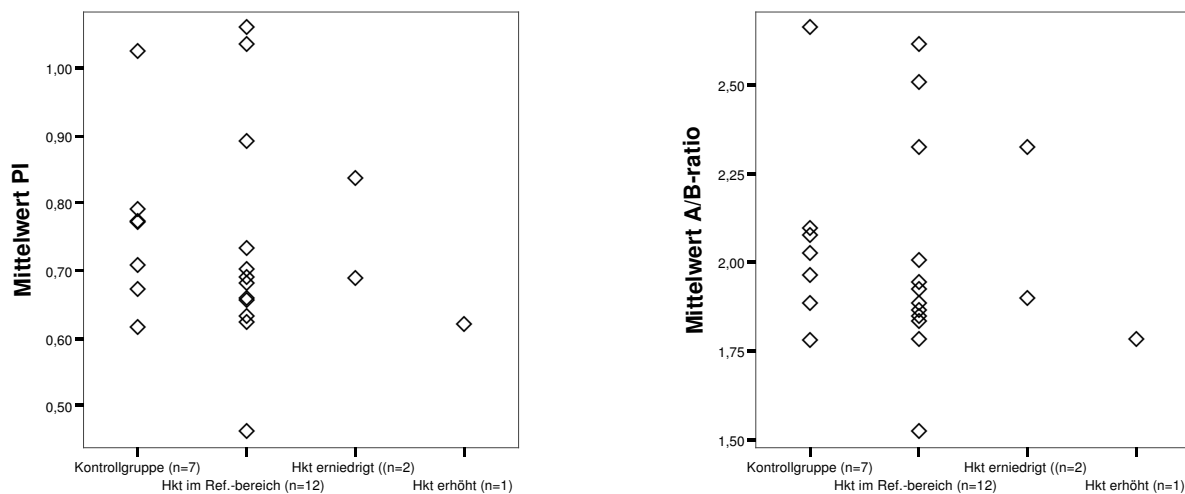


Abb. 9.2: Streudiagramm zur vergleichenden Darstellung der Mittelwerte des Pulsatility Index (PI) und der A/B-ratio im Zusammenhang mit dem Hämatokrit

Tabelle 9.3: Tabellarische Übersicht über die Mittelwerte der Blutflussparameter und Widerstandsindizes im Zusammenhang mit dem Hämatokrit, Teil 1

Parameter		Kontrollgruppe	Hkt Ref.-bereich
PSV (m/s)	$\bar{x} \pm s$	$1,02 \pm 0,03$	$0,81 \pm 0,23$
	Median	1,02	0,81
	Spannweite (Min. - Max.)	0,09 (0,96 - 1,05)	0,82 (0,48 - 1,30)
EDV (m/s)	$\bar{x} \pm s$	$0,50 \pm 0,06$	$0,41 \pm 0,13$
	Median	0,51	0,41
	Spannweite (Min. - Max.)	0,20 (0,39 - 0,59)	0,48 (0,22 - 0,69)
TAMAX (m/s)	$\bar{x} \pm s$	$0,68 \pm 0,04$	$0,55 \pm 0,16$
	Median	0,67	0,55
	Spannweite (Min. - Max.)	0,11 (0,63 - 0,74)	0,55 (0,34 - 0,89)
RI	$\bar{x} \pm s$	$0,51 \pm 0,06$	$0,49 \pm 0,08$
	Median	0,51	0,48
	Spannweite (Min. - Max.)	0,18 (0,44 - 0,62)	0,28 (0,34 - 0,62)
PI	$\bar{x} \pm s$	$0,77 \pm 0,13$	$0,74 \pm 0,18$
	Median	0,77	0,69
	Spannweite (Min. - Max.)	0,41 (0,62 - 1,03)	0,60 (0,46 - 1,06)
A/B-ratio	$\bar{x} \pm s$	$2,07 \pm 0,28$	$2,01 \pm 0,32$
	Median	2,03	1,91
	Spannweite (Min. - Max.)	0,88 (1,78 - 2,66)	1,09 (1,52 - 2,62)

Tabelle 9.4: Tabellarische Übersicht über die Mittelwerte der Blutflussparameter und Widerstandsindizes im Zusammenhang mit dem Hämatokrit, Teil 2

	PSV (m/s)	EDV (m/s)	TAMAX (m/s)	RI	PI	A/B-ratio
Hkt erniedrigt	0,69	0,30	0,47	0,57	0,84	2,32
	0,84	0,44	0,57	0,47	0,69	1,90
Hkt erhöht	0,93	0,52	0,66	0,44	0,62	1,79

9.3 Zusammenhang zwischen Blutflussparametern und Kreatininkonzentration im Serum

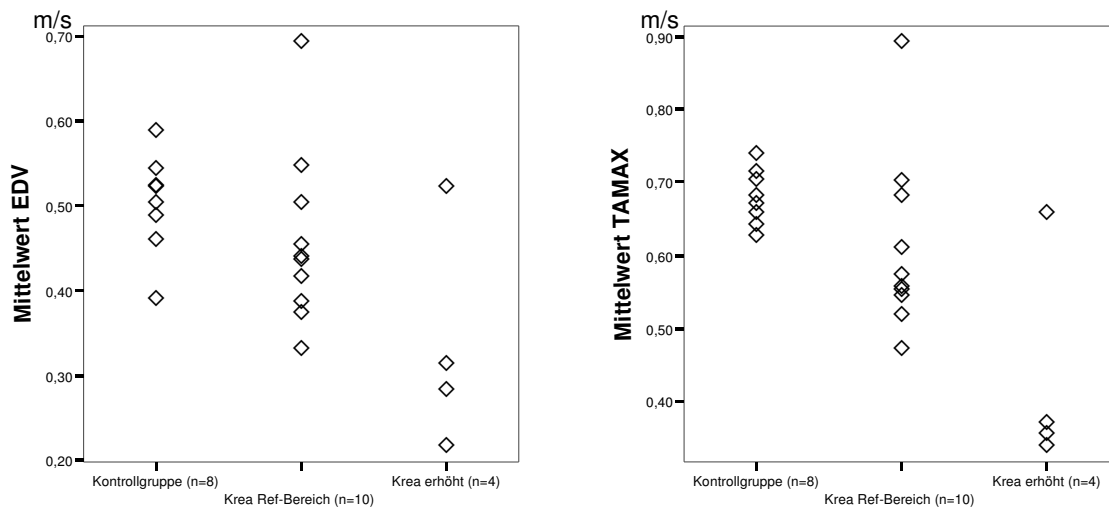


Abb. 9.3: Streudiagramm zur vergleichenden Darstellung der Mittelwerte der enddiastolischen Geschwindigkeit (EDV) und der mittleren Maximalgeschwindigkeit (TAMAX) im Zusammenhang mit der Kreatininkonzentration im Serum

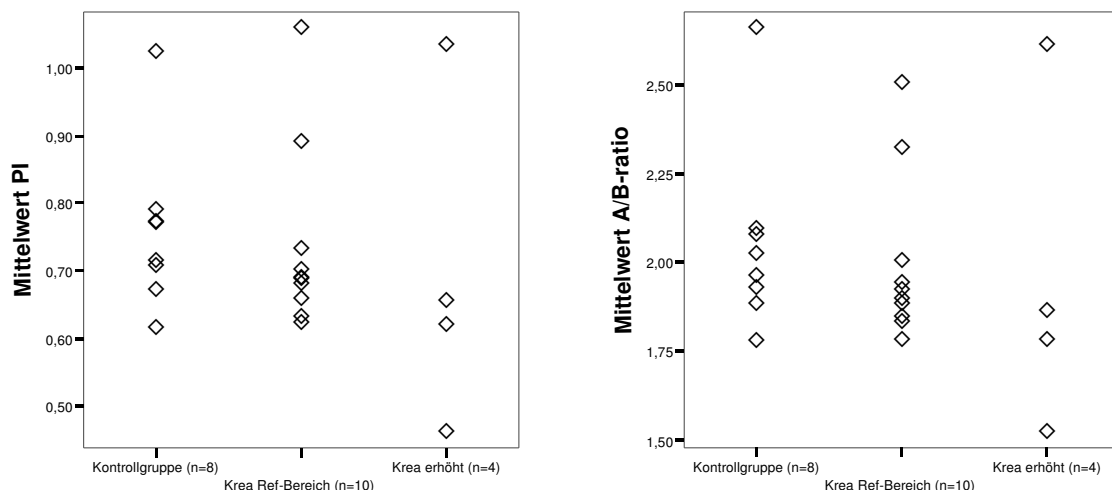


Abb. 9.4: Streudiagramm zur vergleichenden Darstellung der Mittelwerte des Pulsatility Index (PI) und der A/B-ratio im Zusammenhang mit der Kreatininkonzentration im Serum

Tabelle 9.5: Tabellarische Übersicht über die Mittelwerte der Blutflussparameter und Widerstandsindizes im Zusammenhang mit der Kreatininkonzentration im Serum

Parameter		Kontrollgruppe	Krea Ref-bereich	Krea erhöht
PSV (m/s)	$\bar{x} \pm s$	$1,02 \pm 0,03$	$0,90 \pm 0,16$	$0,63 \pm 0,21$
	Median	1,02	0,86	0,55
	Spannw. (Min-Max)	0,09 (0,96 - 1,05)	0,55 (0,75 - 1,30)	0,45 (0,48 - 0,93)
EDV (m/s)	$\bar{x} \pm s$	$0,50 \pm 0,06$	$0,46 \pm 0,10$	$0,34 \pm 0,13$
	Median	0,52	0,44	0,31
	Spannw. (Min-Max)	0,20 (0,39 - 0,59)	0,36 (0,33 - 0,69)	0,31 (0,22 - 0,52)
TAMAX (m/s)	$\bar{x} \pm s$	$0,68 \pm 0,04$	$0,61 \pm 0,12$	$0,43 \pm 0,15$
	Median	0,68	0,57	0,37
	Spannw. (Min-Max)	0,11 (0,63 - 0,74)	0,42 (0,47 - 0,89)	0,32 (0,34 - 0,66)
RI	$\bar{x} \pm s$	$0,50 \pm 0,05$	$0,49 \pm 0,05$	$0,46 \pm 0,11$
	Median	0,50	0,48	0,45
	Spannw. (Min-Max)	0,18 (0,44 - 0,62)	0,16 (0,44 - 0,60)	0,28 (0,34 - 0,62)
PI	$\bar{x} \pm s$	$0,76 \pm 0,12$	$0,74 \pm 0,14$	$0,69 \pm 0,24$
	Median	0,74	0,69	0,64
	Spannw. (Min-Max)	0,41 (0,62 - 1,03)	0,44 (0,62 - 1,06)	0,58 (0,46 - 1,04)
A/B-ratio	$\bar{x} \pm s$	$2,05 \pm 0,27$	$2,00 \pm 0,23$	$1,95 \pm 0,47$
	Median	2,00	1,92	1,83
	Spannw. (Min-Max)	0,88 (1,78 - 2,66)	0,72 (1,79 - 2,51)	1,09 (1,52 - 2,62)

9.4 Zusammenhang zwischen Blutflussparametern und γ GT/Kreatinin-Verhältnis im Harn

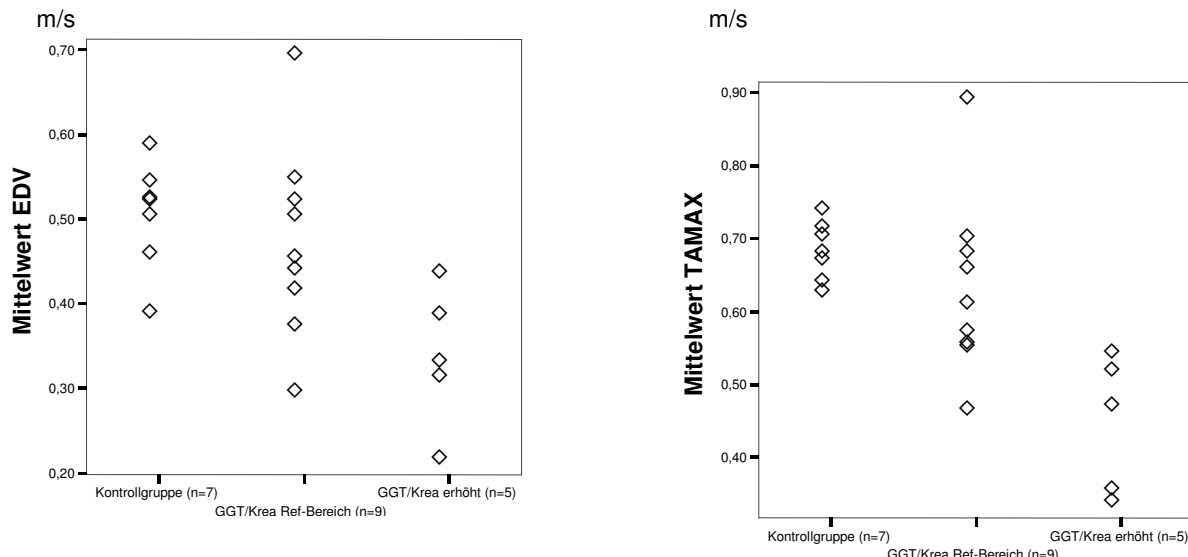


Abb. 9.5: Streudiagramm zur vergleichenden Darstellung der Mittelwerte der enddiastolischen Geschwindigkeit (EDV) und der mittleren Maximalgeschwindigkeit (TAMAX) im Zusammenhang mit dem γ GT/Kreatinin-Verhältnis im Harn

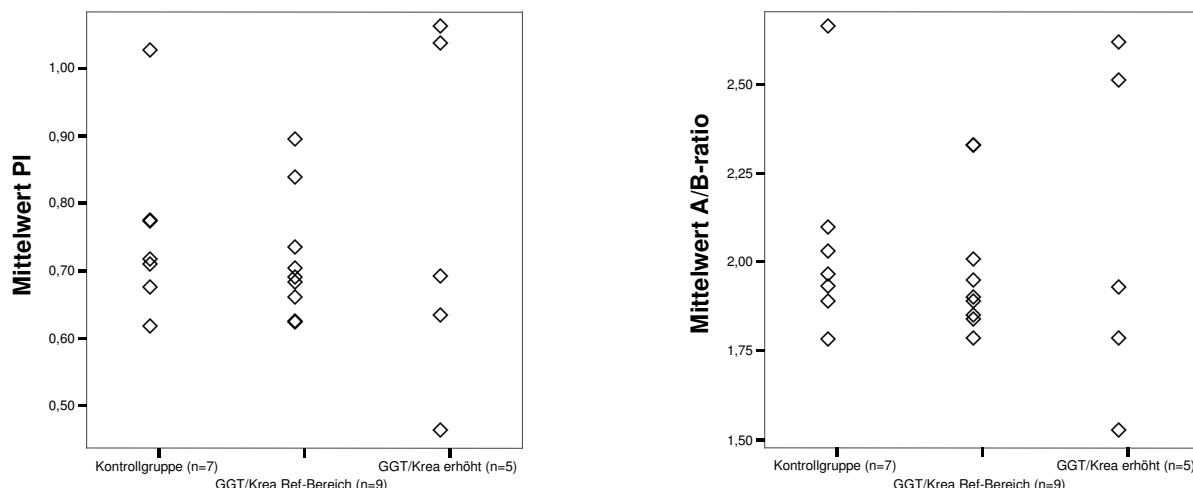


Abb. 9.6: Streudiagramm zur vergleichenden Darstellung der Mittelwerte des Pulsatility Index (PI) und der A/B-ratio im Zusammenhang mit dem γ GT/Kreatinin-Verhältnis im Harn

Tabelle 9.6: Tabellarische Übersicht über die Mittelwerte der Blutflussparameter und Widerstandsindizes im Zusammenhang mit dem γ GT/Kreatinin-Verhältnis im Harn

Parameter		Kontrollgruppe	GGT/Krea Ref.-b	GGT/Krea erhöht
PSV (m/s)	$\bar{x} \pm s$	$1,02 \pm 0,03$	$0,92 \pm 0,18$	$0,68 \pm 0,15$
	Median	1,02	0,90	0,75
	Spannw. (Min-Max)	0,09 (0,96 - 1,05)	0,62 (0,69 - 1,30)	0,35 (0,48 - 0,83)
EDV (m/s)	$\bar{x} \pm s$	$0,51 \pm 0,06$	$0,47 \pm 0,11$	$0,34 \pm 0,08$
	Median	0,52	0,46	0,33
	Spannw. (Min-Max)	0,20 (0,39 - 0,59)	0,40 (0,30 - 0,69)	0,22 (0,22 - 0,44)
TAMAX (m/s)	$\bar{x} \pm s$	$0,68 \pm 0,04$	$0,63 \pm 0,12$	$0,45 \pm 0,09$
	Median	0,68	0,61	0,47
	Spannw. (Min-Max)	0,11 (0,63 - 0,74)	0,43 (0,47 - 0,89)	0,21 (0,34 - 0,55)
RI	$\bar{x} \pm s$	$0,50 \pm 0,06$	$0,49 \pm 0,05$	$0,50 \pm 0,11$
	Median	0,49	0,47	0,48
	Spannw. (Min-Max)	0,18 (0,44 - 0,62)	0,13 (0,44 - 0,57)	0,28 (0,34 - 0,62)
PI	$\bar{x} \pm s$	$0,76 \pm 0,13$	$0,72 \pm 0,09$	$0,78 \pm 0,26$
	Median	0,71	0,69	0,69
	Spannw. (Min-Max)	0,41 (0,62 - 1,03)	0,27 (0,62 - 0,89)	0,60 (0,46 - 1,06)
A/B-ratio	$\bar{x} \pm s$	$2,05 \pm 0,29$	$1,98 \pm 0,20$	$2,07 \pm 0,47$
	Median	1,96	1,90	1,93
	Spannw. (Min-Max)	0,88 (1,78 - 2,66)	0,54 (1,79 - 2,33)	1,09 (0,52 - 2,62)

9.5 Zusammenhang zwischen Blutflussparametern und fraktioneller Natrium-Exkretion

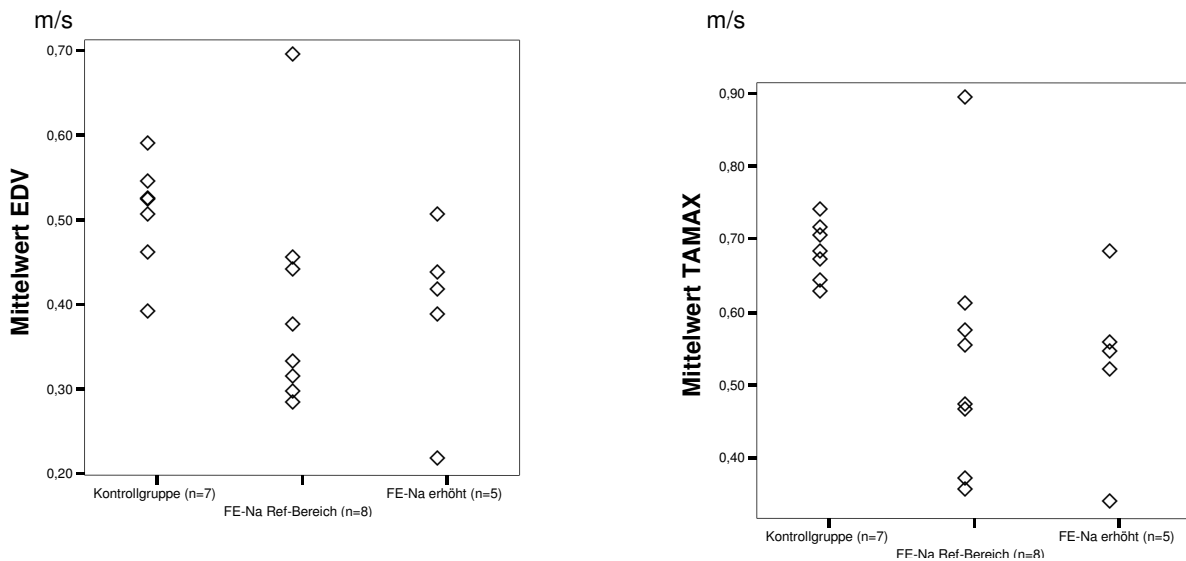


Abb. 9.7: Streudiagramm zur vergleichenden Darstellung der Mittelwerte der enddiastolischen Geschwindigkeit (EDV) und der mittleren Maximalgeschwindigkeit (TAMAX) im Zusammenhang mit der fraktionellen Exkretion von Natrium

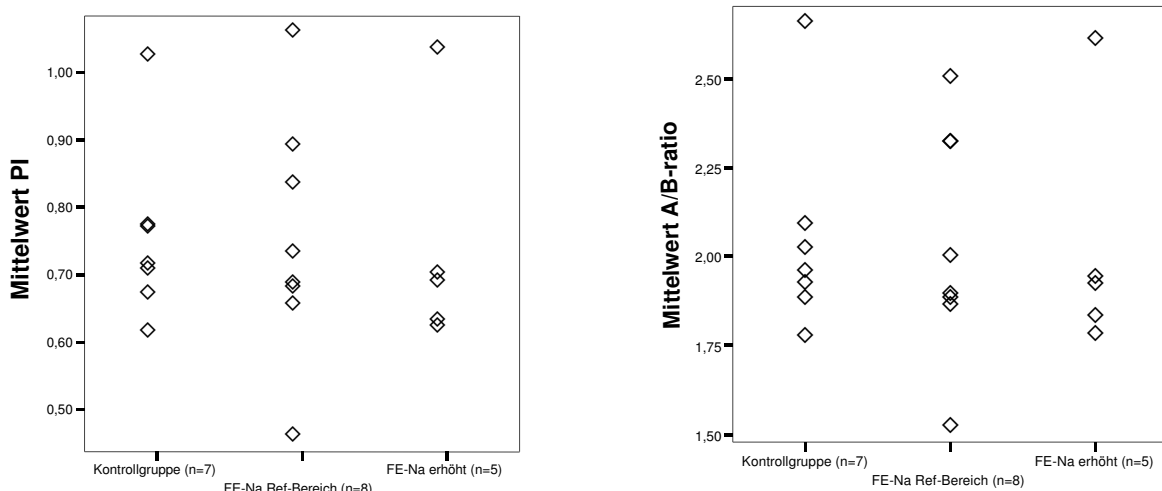


Abb. 9.8: Streudiagramm zur vergleichenden Darstellung der Mittelwerte des Pulsatility Index (PI) und der A/B-ratio im Zusammenhang mit der fraktionellen Exkretion von Natrium

Tabelle 9.7: Tabellarische Übersicht über die Mittelwerte der Blutflussparameter und Widerstandsindizes im Zusammenhang mit der fraktionellen Exkretion von Natrium

Parameter		Kontrollgruppe	FE-Na Ref-bereich	FE-Na erhöht
PSV (m/s)	$\bar{x} \pm s$	$1,02 \pm 0,03$	$0,80 \pm 0,26$	$0,77 \pm 0,15$
	Median	1,02	0,84	0,77
	Spannw. (Min-Max)	0,09 (0,96 - 1,05)	0,82 (0,48 - 1,30)	0,41 (0,57 - 0,98)
EDV (m/s)	$\bar{x} \pm s$	$0,51 \pm 0,06$	$0,40 \pm 0,13$	$0,39 \pm 0,11$
	Median	0,52	0,36	0,42
	Spannw. (Min-Max)	0,20 (0,39 - 0,59)	0,41 (0,29 - 0,69)	0,29 (0,22 - 0,51)
TAMAX (m/s)	$\bar{x} \pm s$	$0,68 \pm 0,04$	$0,54 \pm 0,17$	$0,53 \pm 0,12$
	Median	0,68	0,51	0,55
	Spannw. (Min-Max)	0,11 (0,63 - 0,74)	0,54 (0,36 - 0,89)	0,34 (0,34 - 0,68)
RI	$\bar{x} \pm s$	$0,50 \pm 0,06$	$0,50 \pm 0,08$	$0,50 \pm 0,07$
	Median	0,49	0,48	0,48
	Spannw. (Min-Max)	0,18 (0,44 - 0,62)	0,26 (0,34 - 0,60)	0,18 (0,44 - 0,62)
PI	$\bar{x} \pm s$	$0,76 \pm 0,13$	$0,75 \pm 0,18$	$0,74 \pm 0,17$
	Median	0,71	0,71	0,69
	Spannw. (Min-Max)	0,41 (0,62 - 1,03)	0,60 (0,46 - 1,06)	0,41 (0,62 - 1,04)
A/B-ratio	$\bar{x} \pm s$	$2,05 \pm 0,29$	$2,04 \pm 0,32$	$2,02 \pm 0,34$
	Median	1,96	1,96	1,93
	Spannw. (Min-Max)	0,88 (1,78 - 2,66)	0,99 (1,52 - 2,51)	0,83 (1,79 - 2,62)

9.6 Intraindividuelle Unterschiede

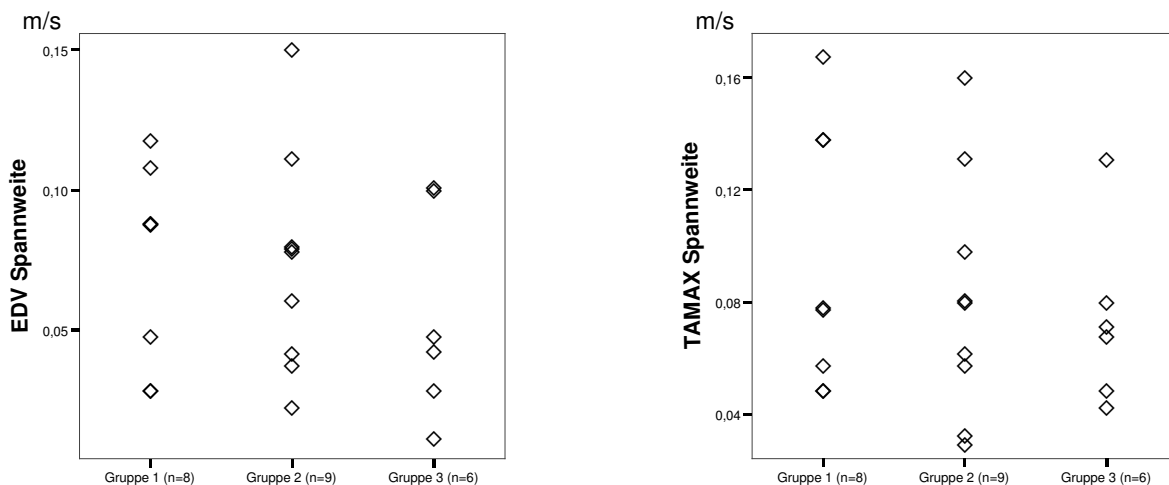


Abb. 9.9: Streudiagramm zur vergleichenden Darstellung der Spannweiten der enddiastolischen Geschwindigkeit (EDV) und der mittleren Maximalgeschwindigkeit (TAMAX)

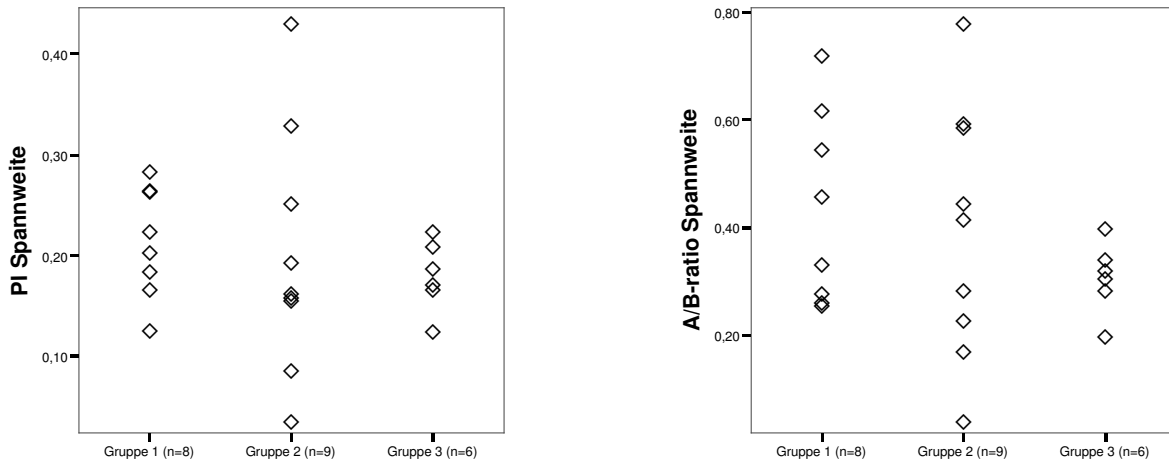


Abb. 9.10: Streudiagramm zur vergleichenden Darstellung der Spannweiten des Pulsatility Index (PI) und der A/B-ratio

Tabelle 9.8: Tabellarische Übersicht über die Spannweiten der Blutflussparameter und Widerstandsindizes

Parameter		Gruppe 1	Gruppe 2	Gruppe 3
PSV (m/s)	$\bar{x} \pm s$	$0,13 \pm 0,05$	$0,11 \pm 0,06$	$0,10 \pm 0,03$
	Median (Min-Max)	0,14 (0,05 - 0,19)	0,08 (0,06 - 0,22)	0,10 (0,06 - 0,16)
	Spannweite	0,14	0,16	0,10
	p	-	0,423	0,345
EDV (m/s)	$\bar{x} \pm s$	$0,08 \pm 0,04$	$0,07 \pm 0,04$	$0,06 \pm 0,04$
	Median (Min-Max)	0,09 (0,03 - 0,12)	0,08 (0,02 - 0,15)	0,05 (0,01 - 0,10)
	Spannweite	0,09	0,13	0,09
	p	-	0,606	0,414
TAMAX (m/s)	$\bar{x} \pm s$	$0,10 \pm 0,05$	$0,08 \pm 0,04$	$0,07 \pm 0,03$
	Median (Min-Max)	0,08 (0,05 - 0,17)	0,08 (0,03 - 0,16)	0,07 (0,04 - 0,13)
	Spannweite	0,12	0,13	0,09
	p	-	0,606	0,345
RI	$\bar{x} \pm s$	$0,10 \pm 0,03$	$0,09 \pm 0,06$	$0,09 \pm 0,03$
	Median (Min-Max)	0,10 (0,06 - 0,14)	0,08 (0,02 - 0,20)	0,10 (0,05 - 0,13)
	Spannweite	0,08	0,18	0,08
	p	-	0,481	0,755
PI	$\bar{x} \pm s$	$0,22 \pm 0,06$	$0,20 \pm 0,12$	$0,18 \pm 0,03$
	Median (Min-Max)	0,22 (0,13 - 0,29)	0,16 (0,04 - 0,43)	0,18 (0,13 - 0,22)
	Spannweite	0,16	0,39	0,09
	p	-	0,423	0,181
A/B-ratio	$\bar{x} \pm s$	$0,45 \pm 0,18$	$0,39 \pm 0,24$	$0,31 \pm 0,06$
	Median (Min-Max)	0,41 (0,27 - 0,73)	0,41 (0,05 - 0,78)	0,31 (0,21 - 0,40)
	Spannweite	0,46	0,73	0,19
	p	-	0,606	0,282